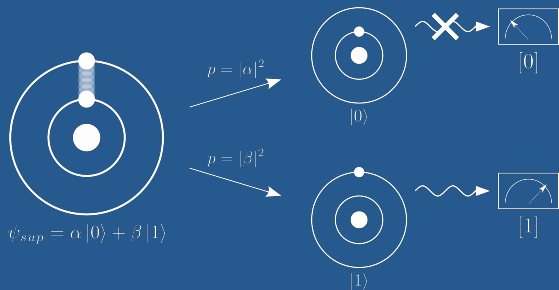


Подходы к моделированию атаки на
упрощённый алгоритм AES при помощи
квантового алгоритма Гровера

Алексей Моисеевский

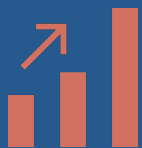
A decorative orange arc is located on the right side of the slide, partially overlapping the text area.



Квантовые вычисления



Почему квантовые вычисления?



Hilbert space is a big place!

Квантовая память открывает новые масштабы моделирования



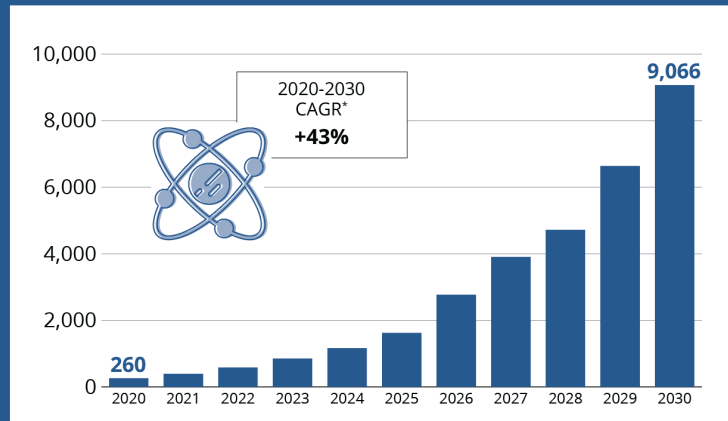
Решение задач ускоряется

Минимум квадратично
В ряде случаев – экспоненциально



Упрощается криптоанализ

Гарантия безопасности потребует увеличения длины ключей



Прогноз роста объёма
мирового рынка квантовых
вычислений в миллионах \$

Квантовые алгоритмы



Алгоритмы оптимизации

VQE, QAOA

Система представляется кубитами непосредственно

Уже имеют реальные приложения



Обобщённый поиск

Алгоритм Гровера

Квадратичное ускорение перебора симметричных ключей

$O(\log M)$ кубитов



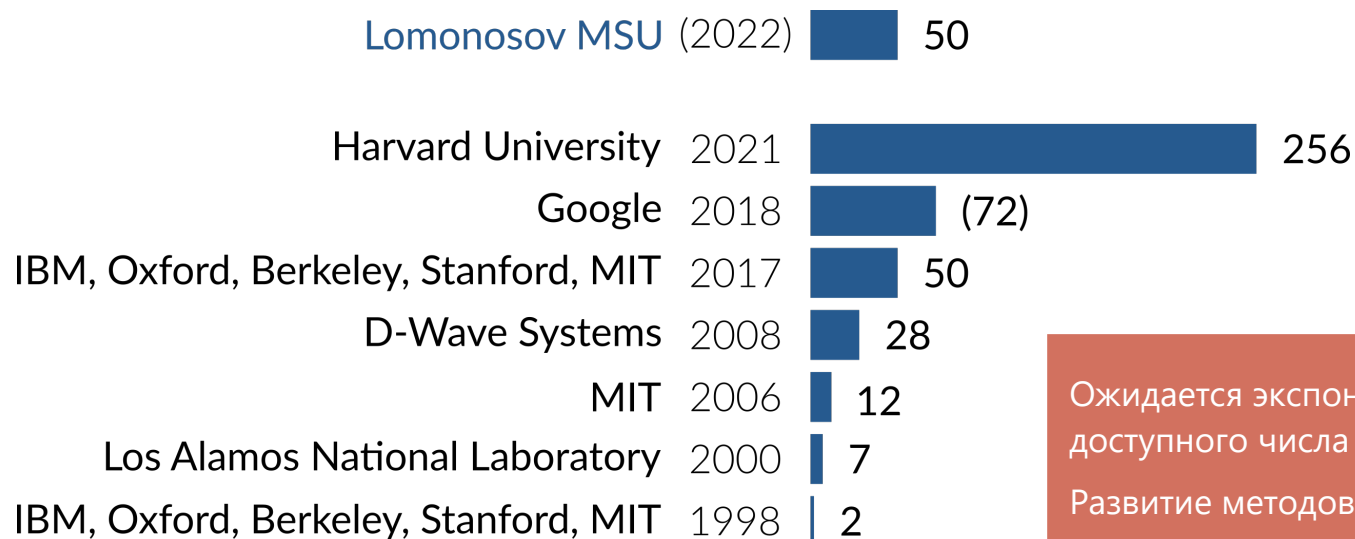
Задача факторизации

Алгоритм Шора

Экспоненциальное ускорение взлома асимметричных шифров

$O(\log M)$ кубитов

Доступное число кубитов



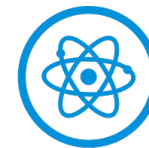
Ожидается экспоненциальный рост доступного числа кубитов

Развитие методов подавления шумов позволяет на это рассчитывать

Что это даёт для криптографии?



Сложность классической
атаки



Сложность квантовой
атаки



Асимметричная криптография



Симметричная криптография



Хэш-функции



Субэкспоненциальная
Дискретное логарифмирование
Факторизация целых чисел



Экспоненциальная
Перебор ключей $O(2^n)$



Экспоненциальная
Перебор прообразов $O(2^n)$



Полиномиальная
Алгоритм Шора



Экспоненциальная
Алгоритм Гровера $O(2^{n/2})$



Экспоненциальная
Алгоритм Гровера $O(2^{n/2})$

Что это даёт для криптографии?

$$n = 128$$

$$N_{\text{Classic}} \sim 2^n \quad (\text{операций})$$

$$N_{\text{Quantum}} \sim 2^{n/2} \quad (\text{операций})$$

$$V_{\text{classic}} \sim 10^{17} \quad (\text{операций / с})$$

$$V_{\text{quantum}} \sim 10^3 \quad (\text{операций / с})$$

$$T_{\text{Classic}} \sim 2^n / V_{\text{Classic}} \sim 2^{77} \text{ с}$$

$$T_{\text{Quantum}} \sim 2^{n/2} / V_{\text{Quantum}} \sim 2^{35} \text{ с}$$

Что это даёт для криптографии?

$$n = 128$$

$$N_{\text{Classic}} \sim 2^n \quad (\text{операций})$$

$$N_{\text{Quantum}} \sim 2^{n/2} \quad (\text{операций})$$

$$V_{\text{classic}} \sim 10^{17} \quad (\text{операций / с})$$

$$V_{\text{quantum}} \sim 10^3 \quad (\text{операций / с})$$

$$T_{\text{Classic}} \sim 2^n / V_{\text{Classic}} \sim 2^{77} \text{ с}$$

$$T_{\text{Quantum}} \sim 2^{n/2} / V_{\text{Quantum}} \sim 2^{35} \text{ с}$$

Ускориться на пять порядков?

Не исключено. Y. Chew, K. Ohmori et al.,

Ultrafast energy exchange between two single Rydberg atoms on the nanosecond timescale (2021)

H X • X H

⋮

H X • X H

H X Z X H

Алгоритм Гровера

Квантовый алгоритм Гровера



Сложность $O(\sqrt{N})$

Алгоритм требует меньше действий, чем простое обращение ко всем элементам



Обобщённый поиск

Единственное требование к данным – возможность распознавания решения



Универсальное решение

В общем случае алгоритм применим для ускорения решения любой NP задачи

Квантовый алгоритм Гровера – алгоритм ускоренного поиска по неструктурированной базе данных

М. Нильсен, И. Чанг

«Квантовые вычисления и квантовая информация», 2001

«В высшей степени удивительно, что существует квантовый алгоритм, позволяющий существенно ускорить метод поиска простым перебором»



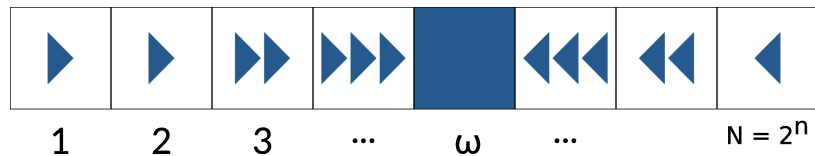
Неструктурированный ПОИСК

Классический подход

Перебрать все элементы

$O(N / 2)$ в среднем

$O(N - 1)$ в худшем случае



Неструктурированный ПОИСК

Алгоритм Гровера

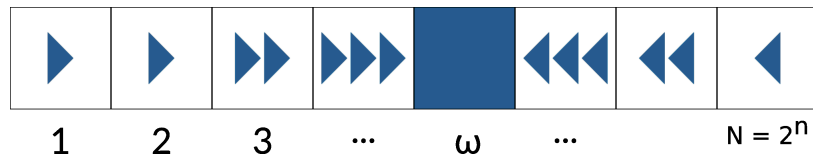
- 1) Начать с суперпозиции
- 2) Отметить решение фазой
- 3) Усилить амплитуду по отметке
- 4) Считать усиленную компоненту

$O(\sqrt{N})$ почти всегда

Квантовый алгоритм Гровера



Неструктурированный ПОИСК



Задача оракула – распознать решение

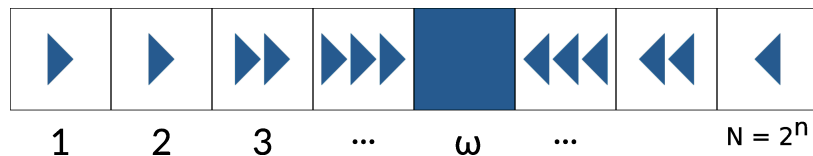
Это проще, чем отыскать его

$$f(x) = \begin{cases} 1 & \text{if } x = \omega \\ 0 & \text{if } x \neq \omega \end{cases}$$

Квантовый оракул должен записывать результат в дополнительный кубит

$$\hat{U}_f |x\rangle |q\rangle = |x\rangle |q \oplus f(x)\rangle$$

Неструктурированный ПОИСК



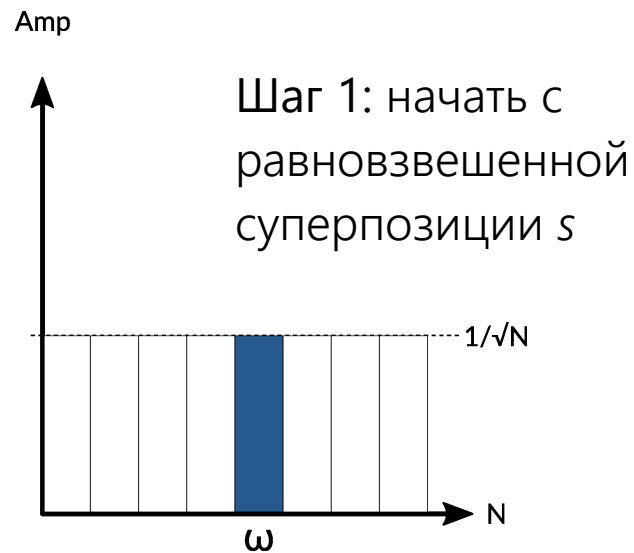
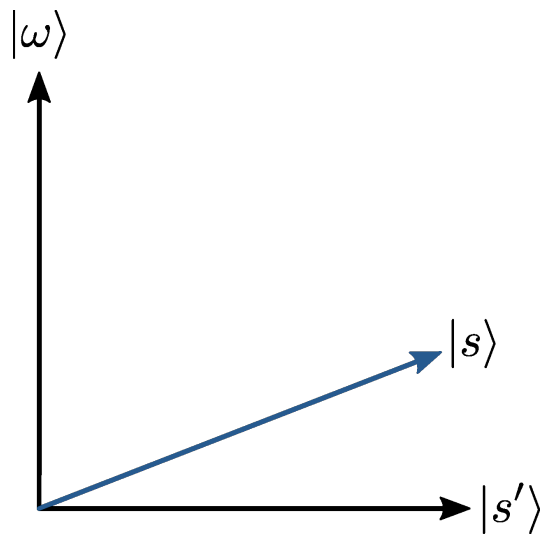
$$\hat{U}_f|x\rangle|q\rangle = |x\rangle|q \oplus f(x)\rangle$$

Возьмём $|q\rangle = \frac{|0\rangle - |1\rangle}{\sqrt{2}} = -\left(\frac{|1\rangle - |0\rangle}{\sqrt{2}}\right)$

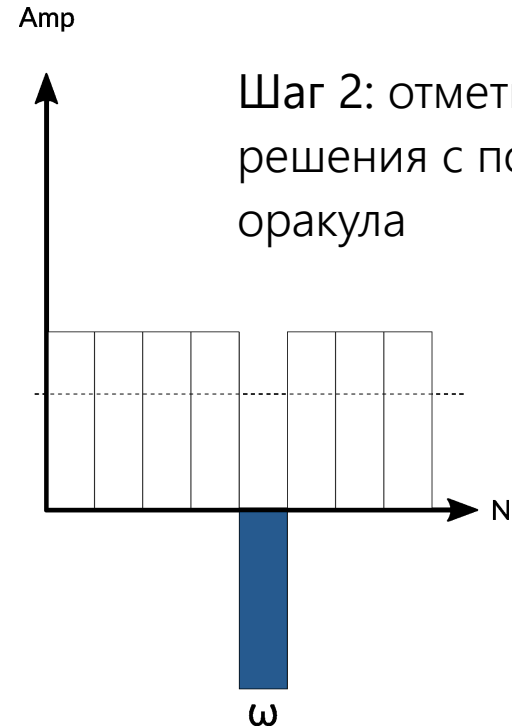
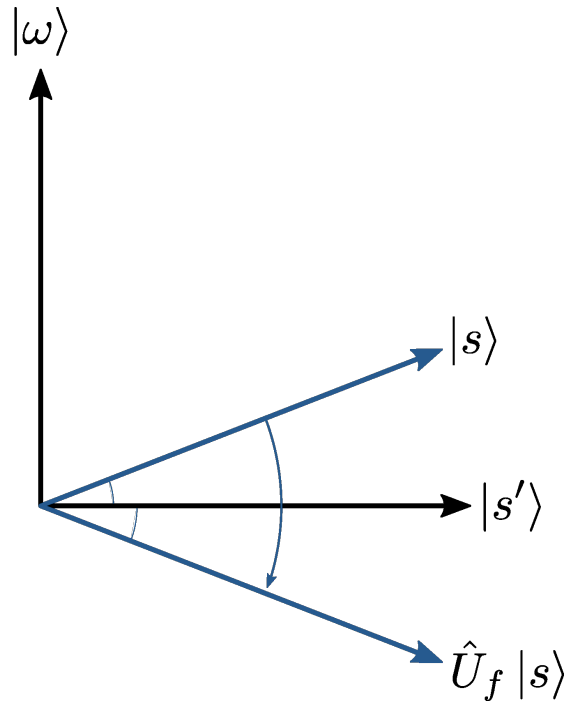
$$\hat{U}_f|x\rangle\left(\frac{|0\rangle - |1\rangle}{\sqrt{2}}\right) = (-1)^{f(x)}|x\rangle\left(\frac{|0\rangle - |1\rangle}{\sqrt{2}}\right)$$

$$\hat{U}_f|x\rangle = (-1)^{f(x)}|x\rangle$$

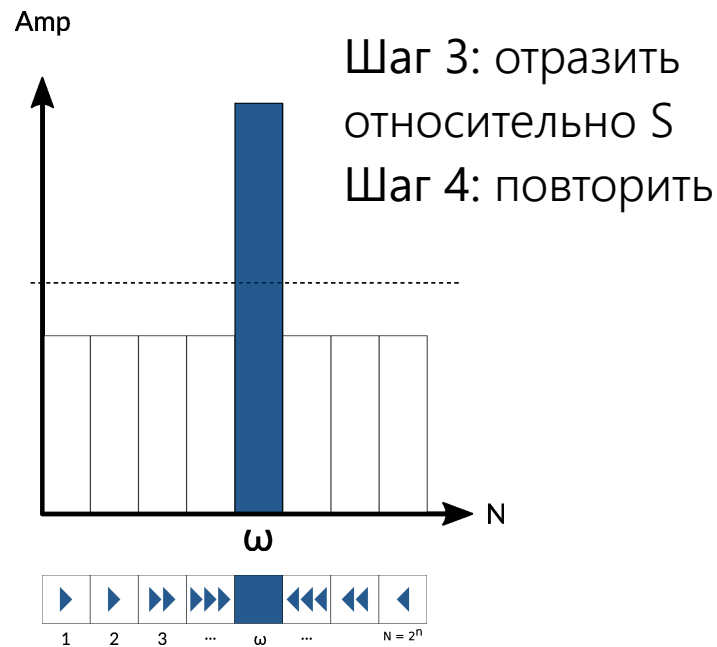
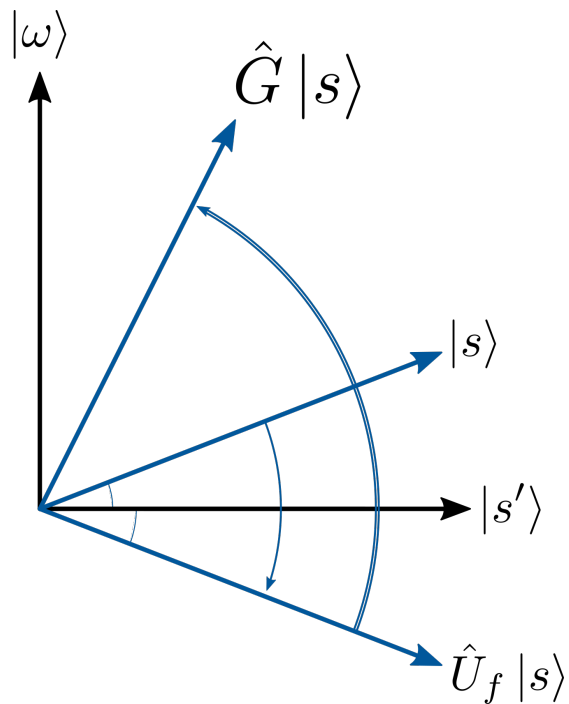
Алгоритм Гровера



Алгоритм Гровера



Алгоритм Гровера



Квантовый алгоритм Гровера



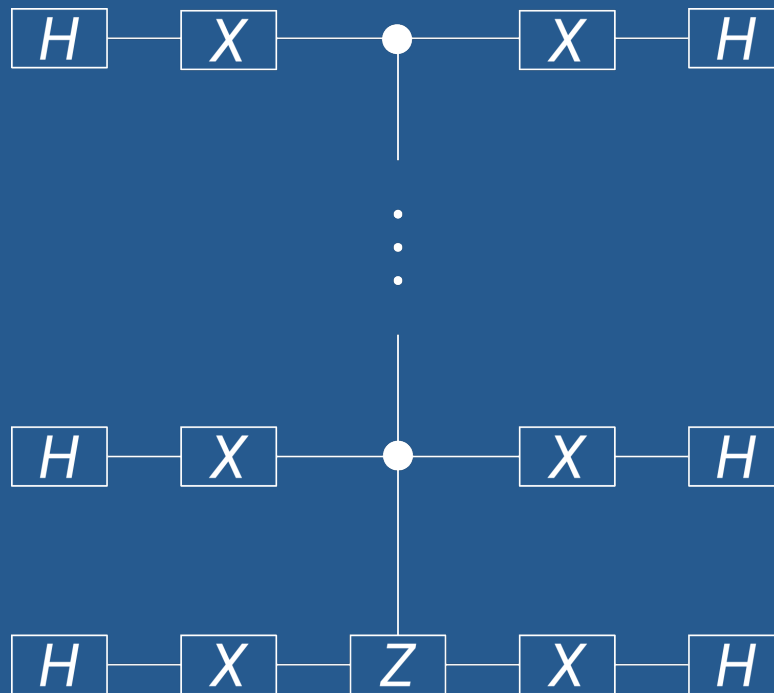
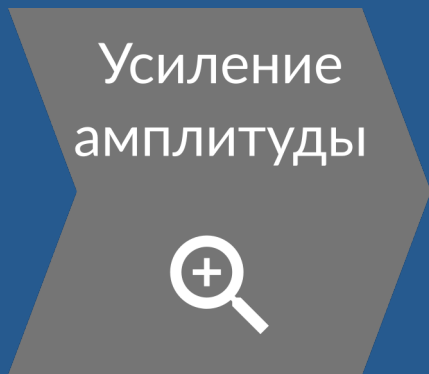
R – число повторений

$$R = \left\lfloor \frac{\pi}{4} \sqrt{\frac{N}{M}} \right\rfloor$$

N – размер базы

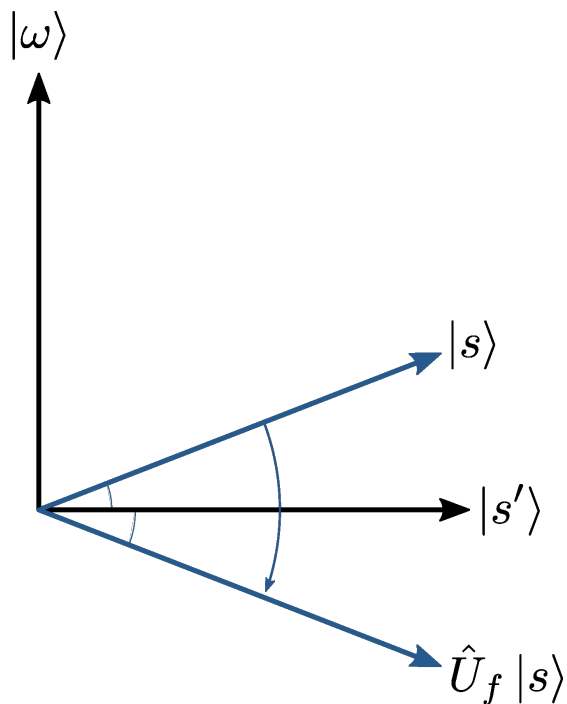
M – число решений

Квантовый алгоритм Гровера





Крипто- Оракул



Задача оракула

$$\hat{U}_f |x\rangle |q\rangle = |x\rangle |q \oplus f(x)\rangle$$

Возьмём $|q\rangle = \frac{|0\rangle - |1\rangle}{\sqrt{2}} = - \left(\frac{|1\rangle - |0\rangle}{\sqrt{2}} \right)$

$$\hat{U}_f |x\rangle \left(\frac{|0\rangle - |1\rangle}{\sqrt{2}} \right) = (-1)^{f(x)} |x\rangle \left(\frac{|0\rangle - |1\rangle}{\sqrt{2}} \right)$$

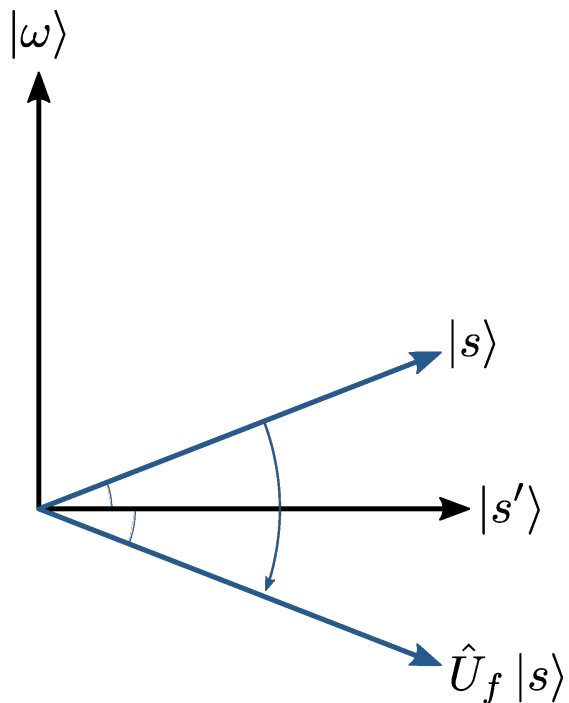
$$\hat{U}_f |x\rangle = (-1)^{f(x)} |x\rangle$$

Задача оракула

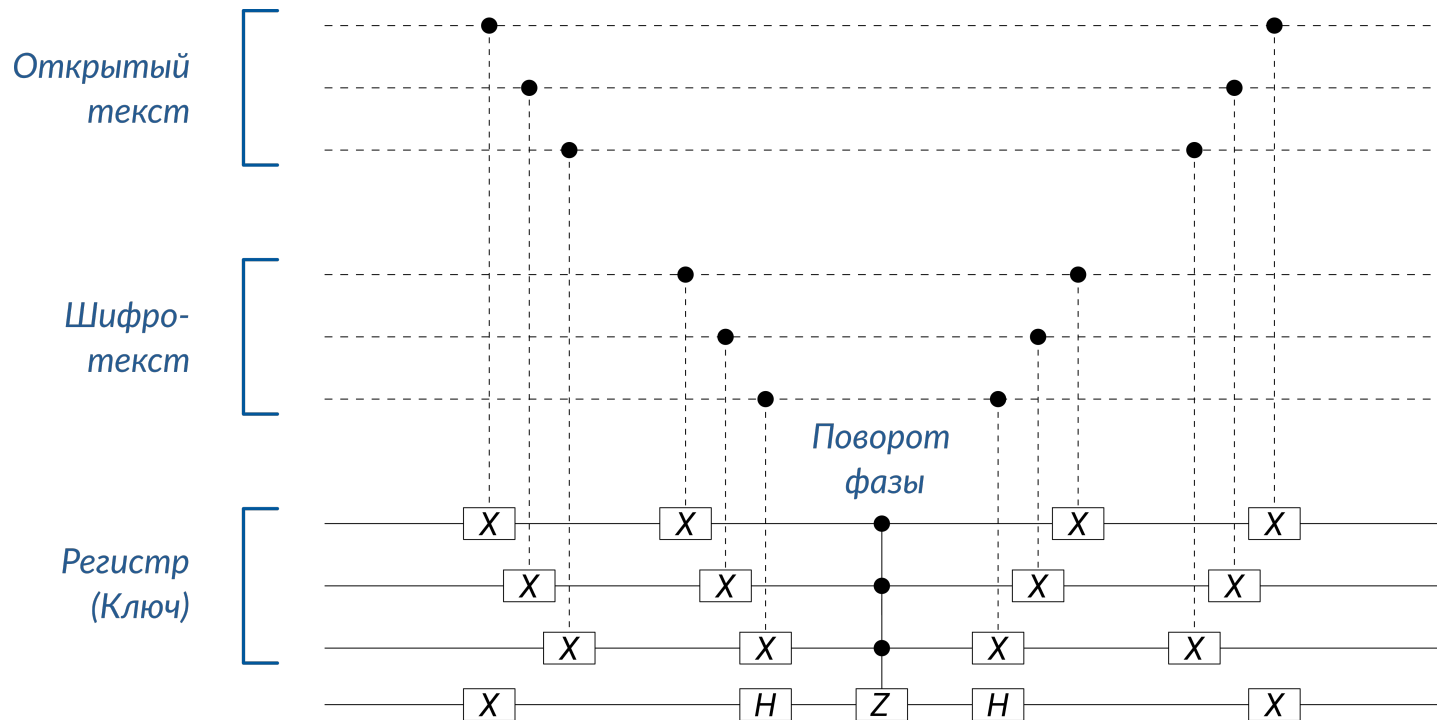
Дан открытый текст и
зашифрованный текст

Требуется найти ключ

Работа оракула —
проверять ключи



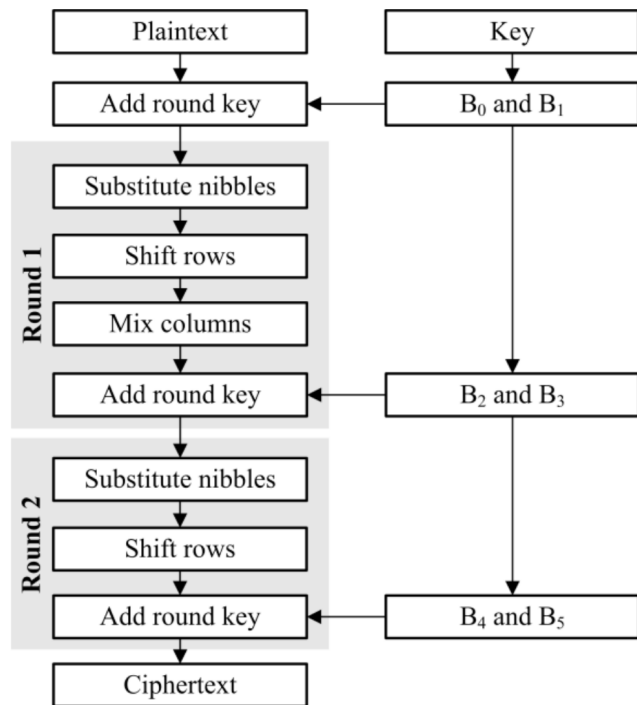
Простейший оракул



Simplified-AES

16 битов
2 раунда

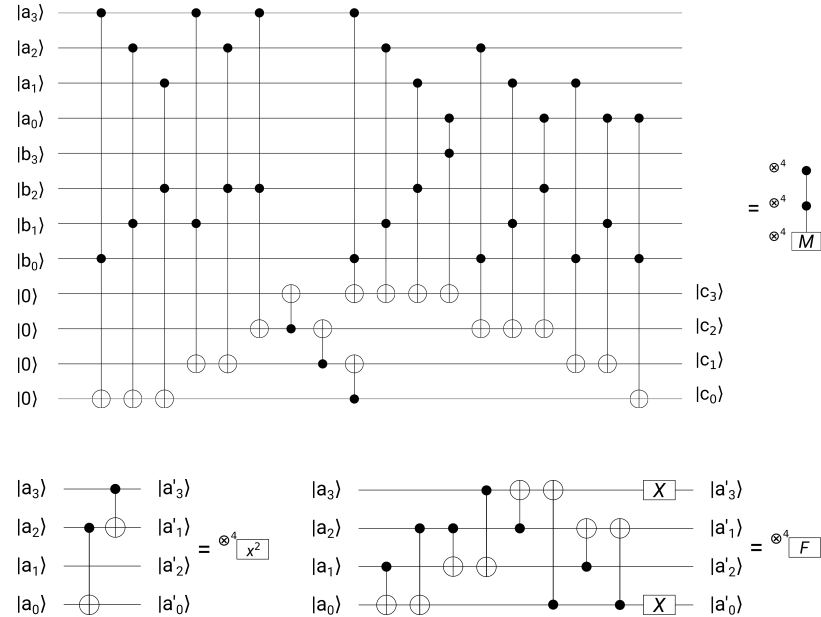
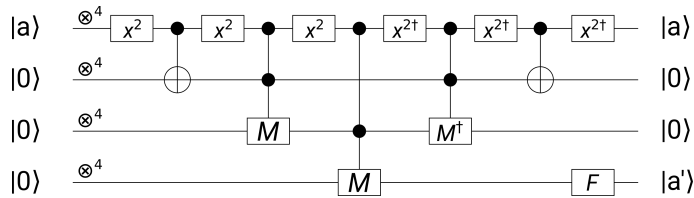
S-Box
Сдвиг строк
Смешение колонок
Добавление ключа



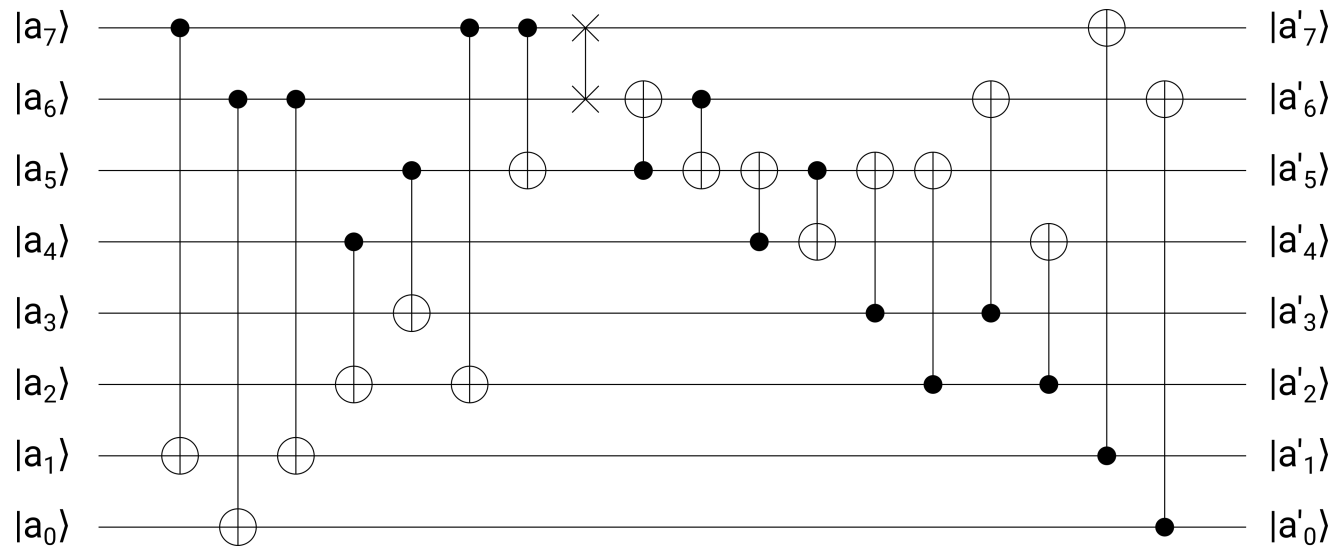
S-box на основе алгебры

$GF(2)[y]/(y^4 + 1)$

$$a^{-1} = a^{14} = a^2 * (a^2)^2 * ((a^2)^2)^2$$



Mix Column из матричного представления



Mix Column из явного преобразования битов

$$a'_0 = a_0 \oplus a_6$$

$$a'_1 = a_1 \oplus a_4 \oplus a_7$$

$$a'_2 = a_2 \oplus a_4 \oplus a_5$$

$$a'_3 = a_3 \oplus a_5$$

$$a'_4 = a_4 \oplus a_2$$

$$a'_5 = a_5 \oplus a_3 \oplus a_0$$

$$a'_6 = a_6 \oplus a_1 \oplus a_0$$

$$a'_7 = a_7 \oplus a_1$$

Mix Column из явного преобразования битов

$$a'_0 = a_0 \oplus a_6$$

$$a'_1 = a_1 \oplus a_4 \oplus a_7$$

$$a'_2 = a_2 \oplus a_4 \oplus a_5$$

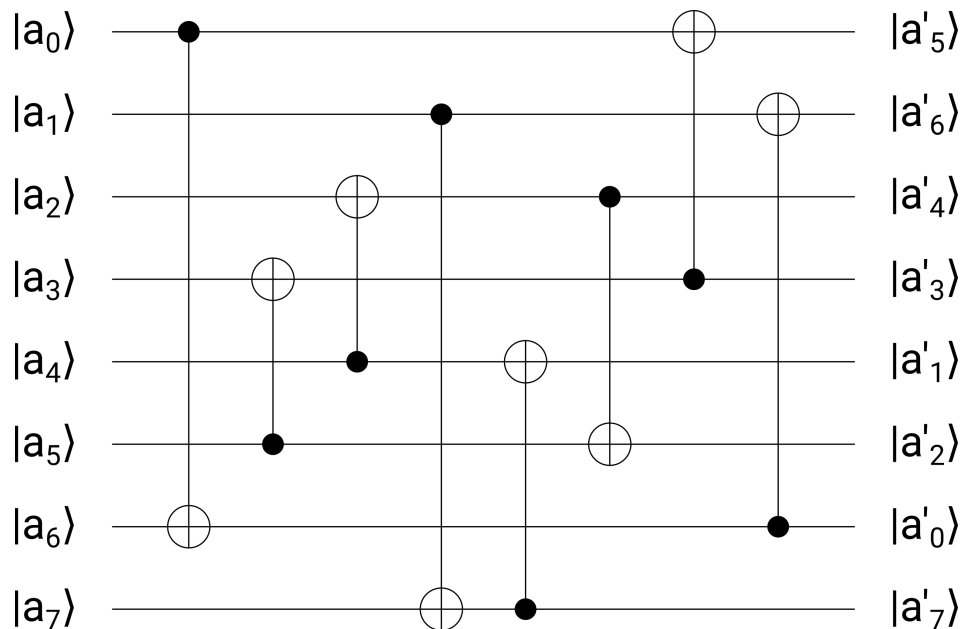
$$a'_3 = a_3 \oplus a_5$$

$$a'_4 = a_4 \oplus a_2$$

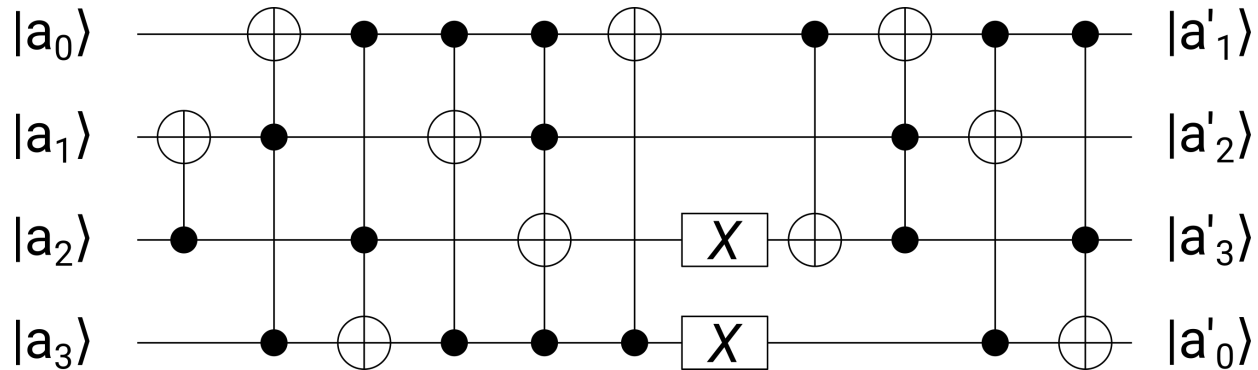
$$a'_5 = a_5 \oplus a_3 \oplus a_0$$

$$a'_6 = a_6 \oplus a_1 \oplus a_0$$

$$a'_7 = a_7 \oplus a_1$$



S-box из таблицы соответствия при помощи LighterR



Требования оракула

Kyung-Bae Jang et. al.

(2021)

32 кубита

144 CNOT

96 C²NOT

16 C³NOT

Almazrooie et. al.

(2018)

72 кубита

1080 CNOT

576 C²NOT

Раунд квантового S-AES

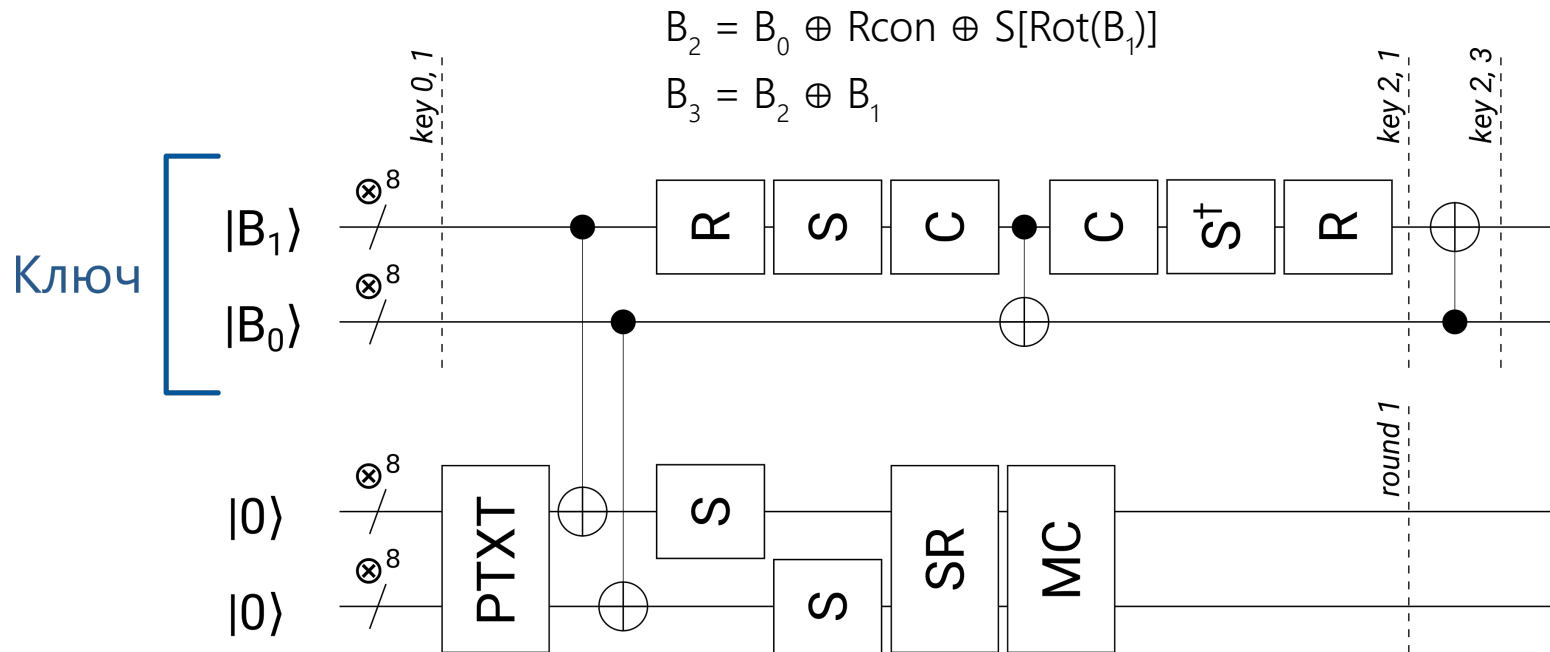


Схема квантовой атаки S-AES

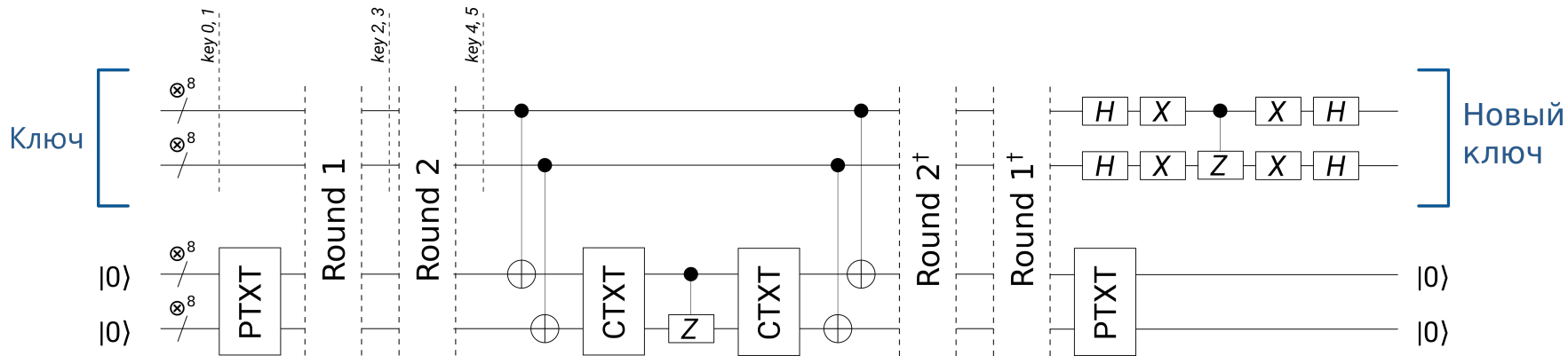


Схема квантовой атаки S-AES

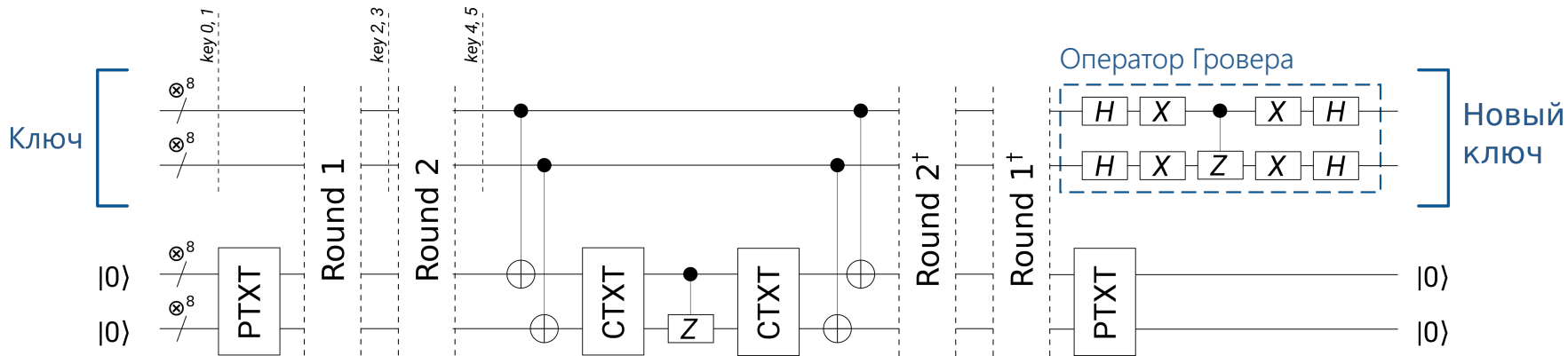
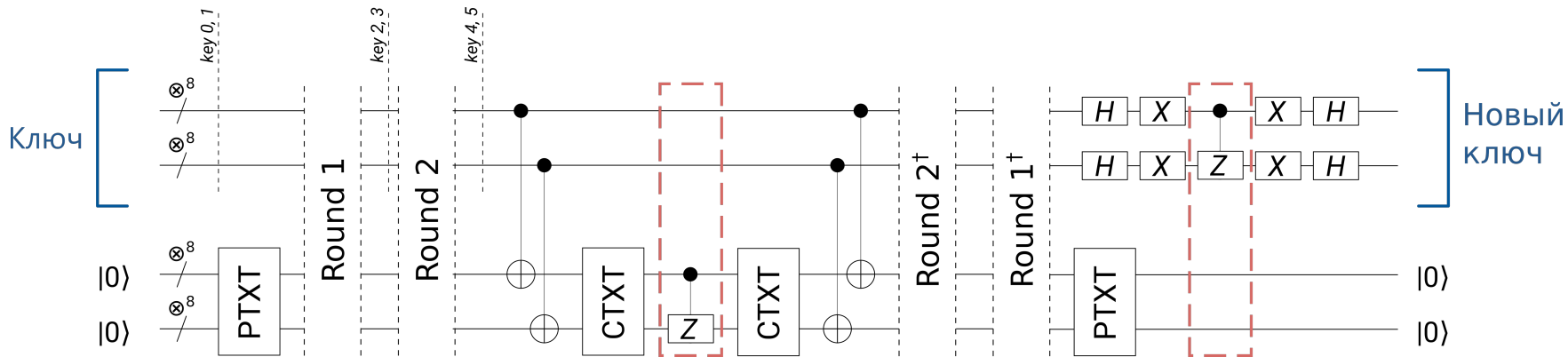
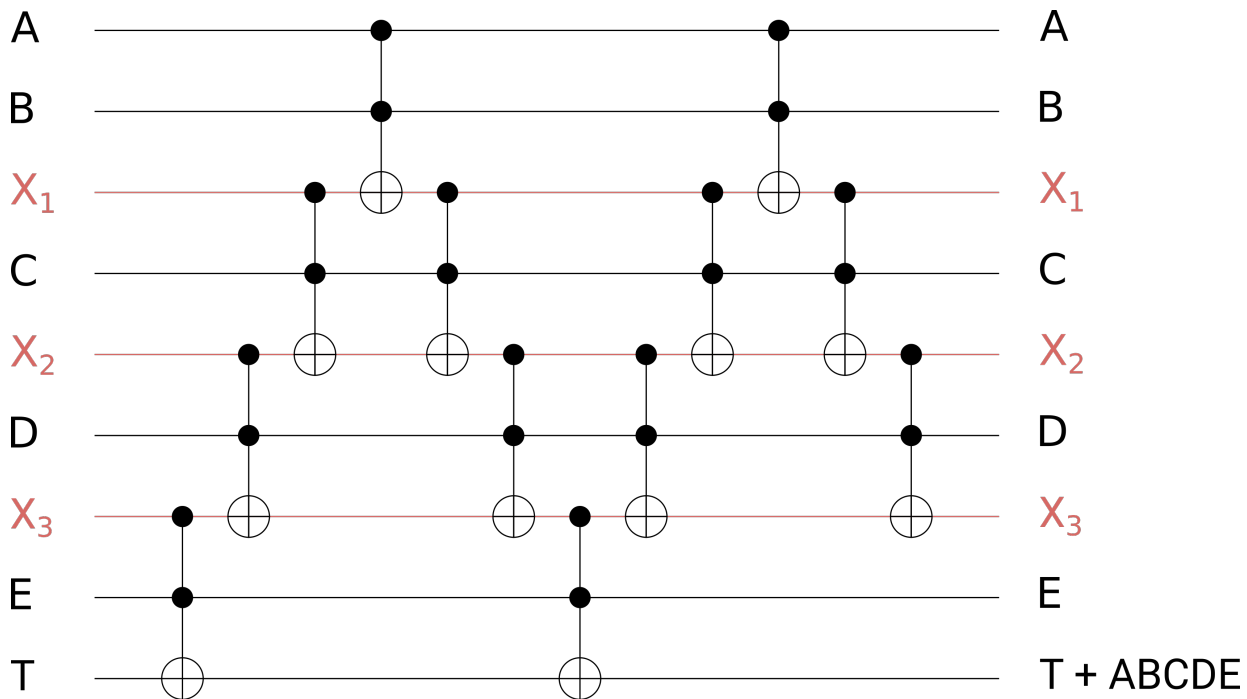


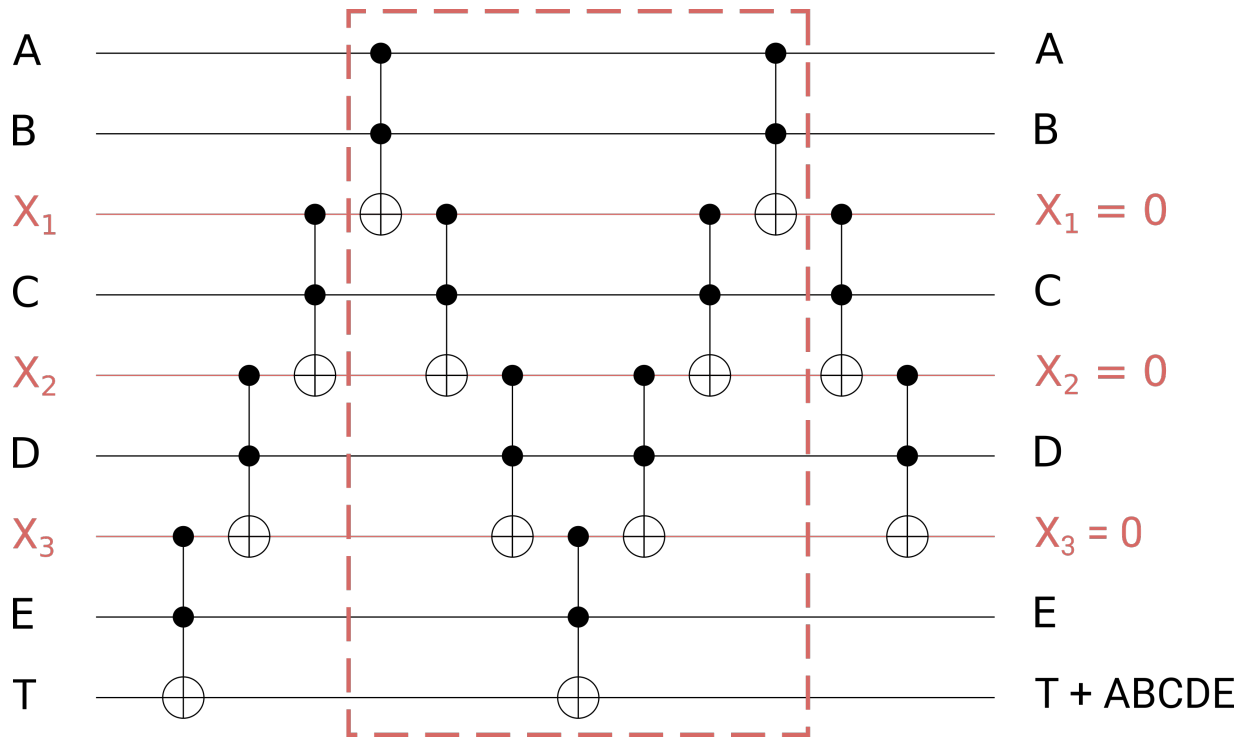
Схема квантовой атаки S-AES



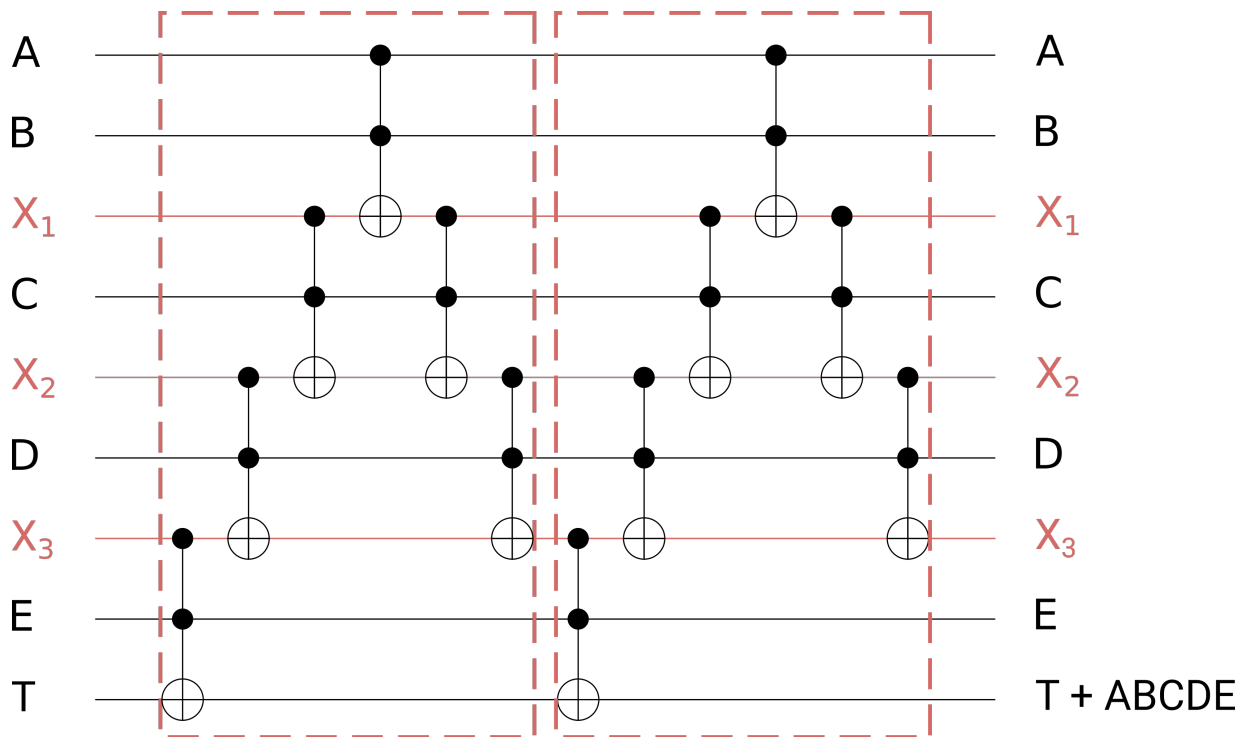
Мультиконтрольный гейт



Мультиконтрольный гейт



Мультиконтрольный гейт



Результаты на сегодняшний день

Полная готовность провести моделирование атаки
S-AES в квантово-вычислительной системе
Центра Квантовых Технологий МГУ

Все составляющие элементы алгоритма
протестированы, в том числе с реалистичным шумом

Перспективы работы

Моделирование атаки с помощью
тензорного симулятора

Исследование возможностей оптимизации алгоритма
атаки за счёт доступа к побочной информации

Внедрение алгоритмов подавления ошибки

Исследование возможностей использования
квантового отжига



Благодарю
за внимание!

Алексей Моисеевский

 +7 968 016 97 32

 Aleksey.Moisevsky@infotecs.ru